

크로만-2-카르복실산 N-페닐아마이드 유도체 합성 및 NF-κB 저해 활성

이원희 · 곽재환 · 한상배 · 김영수 · 정재경 · 이희순[#]

충북대학교 약학대학

(Received May 4, 2012; Revised May 7, 2012; Accepted May 11, 2012)

Synthesis and Inhibitory Activity on NF-κB Activation of Chroman-2-carboxylic Acid N-Heteroarylamide Derivatives

Wonhui Yi, Jae-Hwan Kwak, Sang-Bae Han, Youngsoo Kim, Jae-Kyung Jung and Heesoon Lee[#]

College of Pharmacy, Chungbuk National University, Cheongju 361-763, Korea

Abstract — Nuclear factor-κB (NF-κB) has been considered as one of the major targets for therapeutic agents of diverse human diseases. In the previous studies, 6-hydroxy-7-methoxychroman-2-carboxylic acid *N*-phenylamide (KL-1156) and chroman-2-carboxylic acid *N*-(4-chlorophenyl)amide were identified as good inhibitors of NF-κB activation. In this continuous study, we describe the synthesis and NF-κB inhibitory activities of chroman derivatives containing *N*-heteroaryl groups for exploration of SAR (structure-activity relationship). In addition, inhibitory effects of cell proliferation are evaluated against human cancer cell lines (NCI-H23 and PC-3).

Keywords □ NF-κB, KL-1156, chroman, SAR

많은 인간의 질병은 병이 일어나는 시기 또는 그 진행과정에서 비정상적인 요소와 유전자의 발현으로 생성된 물질이 연관되어 발생한다. 특히 유전자 발현을 조절하는 필수적인 전사요소인 nuclear factor(NF)-κB는 자가면역 질환성 관절염, 사구체 신염, 천식, 염증성 장질환, 패혈성 쇼크 그리고 암의 발생의 유전자들의 전사단계를 활성화 하여 여러 질병을 일으키는 원인으로 보고 되었다.^{1,2)} 대부분의 세포에서 NF-κB는 억제유전자인 IκB와 결합하여 비활성 상태로 세포질에 존재한다.³⁾ 하지만 외부 자극에 의해 IκB kinase(IKK)가 활성화되면 IκB의 *N*-밀단이 인산화되어 IκB의 유리 및 분해를 일으키고 활성형 NF-κB가 핵 안에서 질병을 유발하는 다양한 cytokines, chemokines, adhesion molecules, acute phase proteins, anti-microbial peptide, cell surface receptor, inducible nitric oxide synthase(iNOS)와 cyclooxygenase 2(COX-2) 등을 발현하는 유전자들의 전사를 활성화한다.⁴⁻⁶⁾ 현재까지 다양한 천연물 또는 합성된 NF-κB 활성 억제제가 보고되고 있으며, 크로만 유도체 KL-1156은 NF-κB 활성 저해제로써 NF-κB가 핵 안으로의 translocation 과정을 차

단하는 것이 보고가 되었다.⁷⁾ 선행 연구에서 크로만-2-카르복실산 *N*-페닐아마이드 유도체들의 NF-κB 활성 저해효과를 비교하고 그들의 구조-활성 관계도 살펴보았다. 크로만 모핵에 위치한 항산화성 OH 그룹은 NF-κB 활성 저해에 영향을 미치지 않음을 확인하였고 페닐 위치에 다양한 위치에 치환기가 도입된 크로만 유도체 중 *N*-아릴 환의 4번 위치에 클로로기가 도입된 유도체가 KL-1156보다 2배 좋은 활성을 나타내었다. 크로만 유도체에서 치환기의 종류나 위치에 따른 유의적인 구조-활성 관계를 나타내진 않았다.⁸⁾

이와 같은 연구를 바탕으로 본 연구에서는 크로만 유도체의

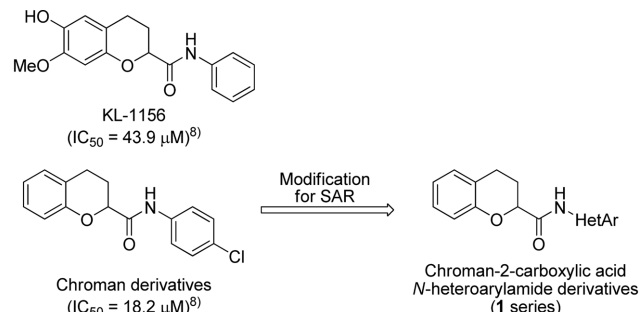


Fig. 1 – Design of chroman-2-carboxylic acid *N*-heteroarylamide derivative.

[#]본 논문에 관한 문의는 저자에게로
(전화) 043-261-2811 (팩스) 043-268-2732
(E-mail) medchem@chungbuk.ac.kr

구조-활성 관계를 더 살펴보기 위해, *N*-아릴 환 위치에 물성 및 활성을 개선하기 위해 의약품에 많이 포함하고 있는 헥테로아릴 환을 도입하기로 하였고 다양한 종류의 헥테로 고리에 따른 NF-κB 활성 저해효과를 알아보고 선행연구의 *N*-아릴 환 구조와 비교하여 크로만 유도체의 구조-활성 관계를 정립하고자 하였다(Fig. 1). 그리고 헥테로아릴 환이 도입된 크로만 유도체는 인간의 암세포(NCI-H23과 PC-3)에서 세포성장억제효과를 살펴보고 NF-κB 활성 저해효과와의 상관관계를 알아보고자 하였다.

재료 및 실험 방법

¹H NMR spectra는 Bruker AVANCE III 400 MHz Spectrometer로 측정하였으며 chemical shift는 ppm(parts per million)으로, coupling constant는 Hz(hertz)로 나타내었다. Column chromatography-용 silica gel(230~400 mesh, Merk)를 사용하였고 TLC(Thin Layer Chromatography)는 Kieselgel 60 F₂₅₄ plate(Merk)를 사용하였다. 본 실험에서 사용한 시약은 부차적인 정제과정 없이 시판 품을 사용하였으며 반응에 사용한 무수 용매 중 THF는 sodium과 benzophenone을 이용하여 증류하여 사용하였고 DCM(dichloromethane)-은 calcium hydride를 이용하여 증류하여 사용하였다.

Chroman-2-carboxylic acid의 합성⁸⁾

알려진 방법으로, 2'-hydroxyacetophenone으로부터 2 단계에 걸쳐 62%의 수율로 acid를 합성하였다.

Chroman-2-carboxylic acid(2)

¹H NMR(CDCl₃, 300 MHz) δ 2.16~2.24(m, 1H), 2.31~2.38(m, 1H), 2.76~2.91(m, 2H), 4.9(dd, 1H, *J*=8.3 Hz, 3.4 Hz), 6.89(t, 1H, *J*=7.7 Hz), 6.92(d, 1H, *J*=7.7 Hz), 7.04(d, 1H, *J*=7.7 Hz), 7.12(t, 1H, *J*=7.7 Hz).

Amide의 일반적 합성법

무수 THF(tetrahydrofran)에 넣어둔 acid 2(1 eq)에 oxalyl chloride(1.5 eq)를 0°C에서 천천히 적가하고 1.5시간 동안 실온에서 교반시킨다. 반응 후, 칼륨 농축하여 다른 정제과정 없이 무수 DCM(dichloromethane)-에 녹인다. 그 용액에 Et₃N(2 eq)과 도입할 NH₂-HetAr(~1.5 eq)을 넣고 실온에서 반응시킨다. 2시간 후, 유기층을 물과 1N-HCl과 brine으로 씻어주고 Na₂SO₄로 수분을 제거한 뒤 칼륨 농축하여 컬럼 크로마토그래피로 정제하여 원하는 생성물을 얻을 수 있었다.

N-(Pyrazin-2-yl)chroman-2-carboxamide(1a) – 수율: 92%, ¹H NMR(CDCl₃, 400 MHz) δ 2.04~2.17(m, 1H), 2.51(m,

1H), 2.81~2.95(m, 2H), 4.69(dd, 1H, *J*=10, 3.2 Hz), 6.91~6.98(m, 2H), 7.09(d, 1H, *J*=7.4 Hz), 7.15(t, 1H, *J*=7.4 Hz), 8.28(d, 1H, *J*=2.4 Hz), 8.39(d, 1H, *J*=2.4 Hz), 9.61(s, 1H).

N-(5-Nitropyrimidin-2-yl)chroman-2-carboxamide(1b) – 수율: 64%, ¹H NMR(CDCl₃, 400 MHz) δ 2.20(m, 1H), 2.31(m, 1H), 2.76(m, 2H), 4.74(dd, 1H, *J*=8.0, 3.2 Hz), 6.89~7.25(m, 4H), 9.07(s, 1H), 9.41(s, 1H).

N-(4,6-Dichloropyrimidin-2-yl)chroman-2-carboxamide(1c) – 수율: 61%, ¹H NMR(CDCl₃, 400 MHz) δ 2.19(m, 1H), 2.30(m, 1H), 2.85(m, 2H), 4.75(dd, 1H, *J*=8.2, 3.4 Hz), 6.94(m, 2H), 7.05(d, 1H, *J*=7.6 Hz), 7.12(t, 1H, *J*=7.6 Hz), 7.26s, 1H).

N-(Pyrimidin-4-yl)chroman-2-carboxamide(1d) – 수율: 90%, ¹H NMR(CDCl₃, 400 MHz) δ 2.10(m, 1H), 2.50(m, 1H), 2.90(m, 2H), 4.6(dd, 1H, *J*=10, 2.8 Hz), 6.96(m, 2H), 7.08(d, 1H, *J*=7.2 Hz), 7.17(t, 1H, *J*=7.6 Hz), 8.23(d, 1H, *J*=5.8 Hz), 8.55(d, 1H, *J*=5.8 Hz), 8.91(s, 1H).

N-(Pyridin-2-yl)chroman-2-carboxamide(1e) – 수율: 93%, ¹H NMR(CDCl₃, 400 MHz) δ 2.10(m, 1H), 2.50(m, 1H), 2.90(m, 2H), 4.63(dd, 1H, *J*=10, 2.8 Hz), 6.90(t, 1H, *J*=7.6 Hz), 6.99(d, 1H, *J*=7.6 Hz), 7.07(m, 2H), 7.15(t, 1H, *J*=7.6 Hz), 7.73(t, 1H, *J*=8.0 Hz), 8.31(m, 2H).

N-(4,5-Dimethylthiazol-2-yl)chroman-2-carboxamide(1f) – 수율: 89%, ¹H NMR(CDCl₃, 400 MHz) δ 2.10(m, 1H), 2.21(s, 3H), 2.28(s, 3H), 2.46(m, 1H), 2.81~2.90(m, 2H), 4.69(dd, 1H, *J*=9.8, 3.0 Hz), 6.90(t, 1H, *J*=7.4 Hz), 6.91(d, 1H, *J*=7.4 Hz), 7.05(d, 1H, *J*=7.4 Hz), 7.12(t, 1H, *J*=7.4 Hz).

N-(4-Ethoxycarbonyl)methylthiazol-2-yl)chroman-2-carboxamide(1g) – 수율: 87%, ¹H NMR(CDCl₃, 400 MHz) δ 1.26(t, 3H, *J*=7.2 Hz), 2.11(m, 1H), 2.45(m, 1H), 2.80~2.95(m, 2H), 4.18(q, 2H, *J*=7.2 Hz), 4.71(dd, 1H, *J*=9.8, 3.0 Hz), 6.84(s, 1H), 6.91(m, 2H), 7.06(d, 1H, *J*=7.4 Hz), 7.14(t, 1H, *J*=7.4 Hz).

N-(1,3,4-thiadiazol-2-yl)chroman-2-carboxamide(1h) – 수율: 92%, ¹H NMR(CDCl₃, 400 MHz) δ 2.15(m, 1H), 2.50(m, 1H), 2.86(m, 1H), 2.97(m, 1H), 4.82(dd, 1H, *J*=9.8, 3.0 Hz), 6.95(m, 2H), 7.09(d, 1H, *J*=7.6 Hz), 7.15(t, 1H, *J*=7.6 Hz), 8.87(s, 1H).

N-(5-Ethylthio-1,3,4-thiadiazol-2-yl)chroman-2-carboxamide(1i) – 수율: 89%, ¹H NMR(CDCl₃, 400 MHz) δ 1.40(t, 3H, *J*=7.4 Hz), 2.16(m, 1H), 2.45(m, 1H), 2.96~3.00(m, 2H), 3.18(q, 2H, *J*=7.4 Hz), 4.82(dd, 1H, *J*=10, 2.8 Hz), 6.91(d, 1H, *J*=7.6 Hz), 6.92(t, 1H, *J*=7.6 Hz), 7.07(d, 1H, *J*=7.6 Hz), 7.14(t, 1H, *J*=7.6 Hz).

N-(5-Trifluoromethyl-1,3,4-thiadiazol-2-yl)chroman-2-carboxamide(1j) – 수율: 87%, ^1H NMR(CDCl₃, 400 MHz) δ 2.15(m, 1H), 2.51(m, 1H), 2.86(m, 1H), 2.96(m, 1H), 4.86(dd, 1H, $J=10$, 2.8 Hz), 6.92(d, 1H, $J=7.8$ Hz), 6.94(t, 1H, $J=7.8$ Hz), 7.09(d, 1H, $J=7.8$ Hz), 7.14(t, 1H, $J=7.8$ Hz).

N-(1-Ethylpyrazol-5-yl)chroman-2-carboxamide(1k) – 수율: 60%, ^1H NMR(CDCl₃, 400 MHz) δ 1.35(t, 3H, $J=7.2$ Hz), 2.18(m, 1H), 2.44(m, 1H), 2.83~2.91(m, 2H), 3.95(q, 2H, $J=7.2$ Hz), 4.72(dd, 1H, $J=8.8$, 3.2 Hz), 6.33(d, 1H, $J=2.0$ Hz), 6.93(d, 1H, $J=7.8$ Hz), 6.95(t, 1H, $J=7.8$ Hz), 7.10(d, 1H, $J=7.8$ Hz), 7.16(t, 1H, $J=7.8$ Hz), 7.45(d, 1H, $J=2.0$ Hz).

N-(5-Methylisoxazol-3-yl)chroman-2-carboxamide(1l) – 수율: 88%, ^1H NMR(CDCl₃, 400 MHz) δ 2.08(m, 1H), 2.39(s, 3H), 2.45(m, 1H), 2.82~2.92(m, 2H), 4.62(dd, 1H, $J=10$, 2.8 Hz), 6.75(s, 1H), 6.92(m, 2H), 7.07(d, 1H, $J=7.8$ Hz), 7.14(t, 1H, $J=7.8$ Hz).

N-(4-Methylbenzothiazol-2-yl)chroman-2-carboxamide(1m) – 수율: 88%, ^1H NMR(CDCl₃, 400 MHz) δ 2.10(m, 1H), 2.50(m, 1H), 2.60(s, 3H), 2.88~2.92(m, 2H), 4.71(dd, 1H, $J=10$, 2.8 Hz), 6.90~6.97(m, 2H), 7.06(d, 1H, $J=7.2$ Hz), 7.12~7.23(m, 3H), 7.64(dd, 1H, $J=7.2$, 1.6 Hz).

N-(6-Methylbenzothiazol-2-yl)chroman-2-carboxamide(1n) – 수율: 90%, ^1H NMR(CDCl₃, 400 MHz) δ 2.10(m, 1H), 2.50(m, 1H), 2.80~2.95(m, 2H), 3.86(s, 3H), 4.74(dd, 1H, $J=9.8$, 3.0 Hz), 6.92(d, 1H, $J=7.4$ Hz), 6.93(t, 1H, $J=7.4$ Hz), 7.04(dd, 1H, $J=9.2$, 2.6 Hz), 7.08(d, 1H, $J=7.4$ Hz), 7.16(t, 1H, $J=7.4$ Hz), 7.29(d, 1H, $J=2.6$ Hz), 7.68(d, 1H, $J=9.2$ Hz).

N-(4-Chlorobenzothiazol-2-yl)chroman-2-carboxamide(1o) – 수율: 89%, ^1H NMR(CDCl₃, 400 MHz) δ 2.12(m, 1H), 2.53(m, 1H), 2.86~2.98(m, 2H), 4.76(dd, 1H, $J=10$, 2.8 Hz), 6.96(t, 1H, $J=8.0$ Hz), 7.00(d, 1H, $J=8.0$ Hz), 7.10(d, 1H, $J=8.0$ Hz), 7.19(t, 1H, $J=8.0$ Hz), 7.28(t, 1H, $J=8.0$ Hz), 7.49(d, 1H, $J=8.0$ Hz), 7.75(d, 1H, $J=8.0$ Hz).

N-(4-Methoxybenzothiazol-2-yl)chroman-2-carboxamide(1p) – 수율: 87%, ^1H NMR(CDCl₃, 400 MHz) δ 2.15(m, 1H), 2.45(m, 1H), 2.85~3.0(m, 2H), 4.00(s, 3H), 4.74(dd, 1H, $J=10$, 2.8 Hz), 6.92(d, 1H, $J=7.8$ Hz), 6.94(t, 1H, $J=7.8$ Hz), 7.09(d, 1H, $J=7.8$ Hz), 7.14(t, 1H, $J=7.8$ Hz).

10, 2.8 Hz), 6.87~6.96(m, 3H), 7.06(d, 1H, $J=7.2$ Hz), 7.16(t, 1H, $J=7.2$ Hz), 7.26(t, 1H, $J=8.0$ Hz), 7.39(d, 1H, $J=8.0$ Hz).

N-(Quinolin-8-yl)chroman-2-carboxamide(1q) – 수율: 90%, ^1H NMR(CDCl₃, 400 MHz) δ 2.23~2.54(m, 2H), 2.86~2.96(m, 2H), 4.78(dd, 1H, $J=9.6$, 2.8 Hz), 6.92(t, 1H, $J=7.2$ Hz), 7.08(d, 1H, $J=7.2$ Hz), 7.14~7.20(m, 2H), 7.42(m, 1H), 7.52(m, 2H), 8.12(d, 1H, $J=8.4$ Hz), 8.81(m, 2H).

N-(2-Methylquinolin-4-yl)chroman-2-carboxamide(1r) – 수율: 91%, ^1H NMR(CDCl₃, 400 MHz) δ 2.22~2.54(m, 2H), 2.74(s, 3H), 2.87~2.97(m, 2H), 4.79(dd, 1H, $J=9.4$, 3.0 Hz), 6.98(t, 1H, $J=7.4$ Hz), 7.09(d, 1H, $J=7.4$ Hz), 7.12(d, 1H, $J=7.4$ Hz), 7.23(t, 1H, $J=7.4$ Hz), 7.51(t, 1H, $J=8.0$ Hz), 7.65(d, 1H, $J=8.0$ Hz), 7.69(t, 1H, $J=8.0$ Hz), 8.03(d, 1H, $J=8.0$ Hz), 8.28(s, 1H).

실험결과 및 고찰

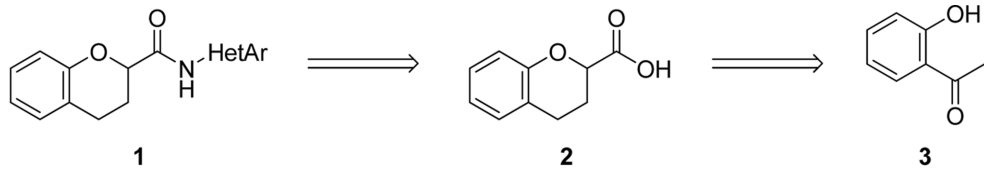
Chromane-2-carboxylic acid N-heteroarylamide 유도체 합성

최종 화합물(1)은 acid(2)와 다양한 치환기가 도입된 헤테로아릴아민과의 웨타이드 coupling을 통하여 얻을 수 있을 것으로 생각하였으며, acid는 선행연구에서 보고된 방법을 사용하여 2'-hydroxyacetophenone(3)로부터 일련의 과정을 거쳐서 합성할 수 있을 것으로 계획하였다(Scheme 1).

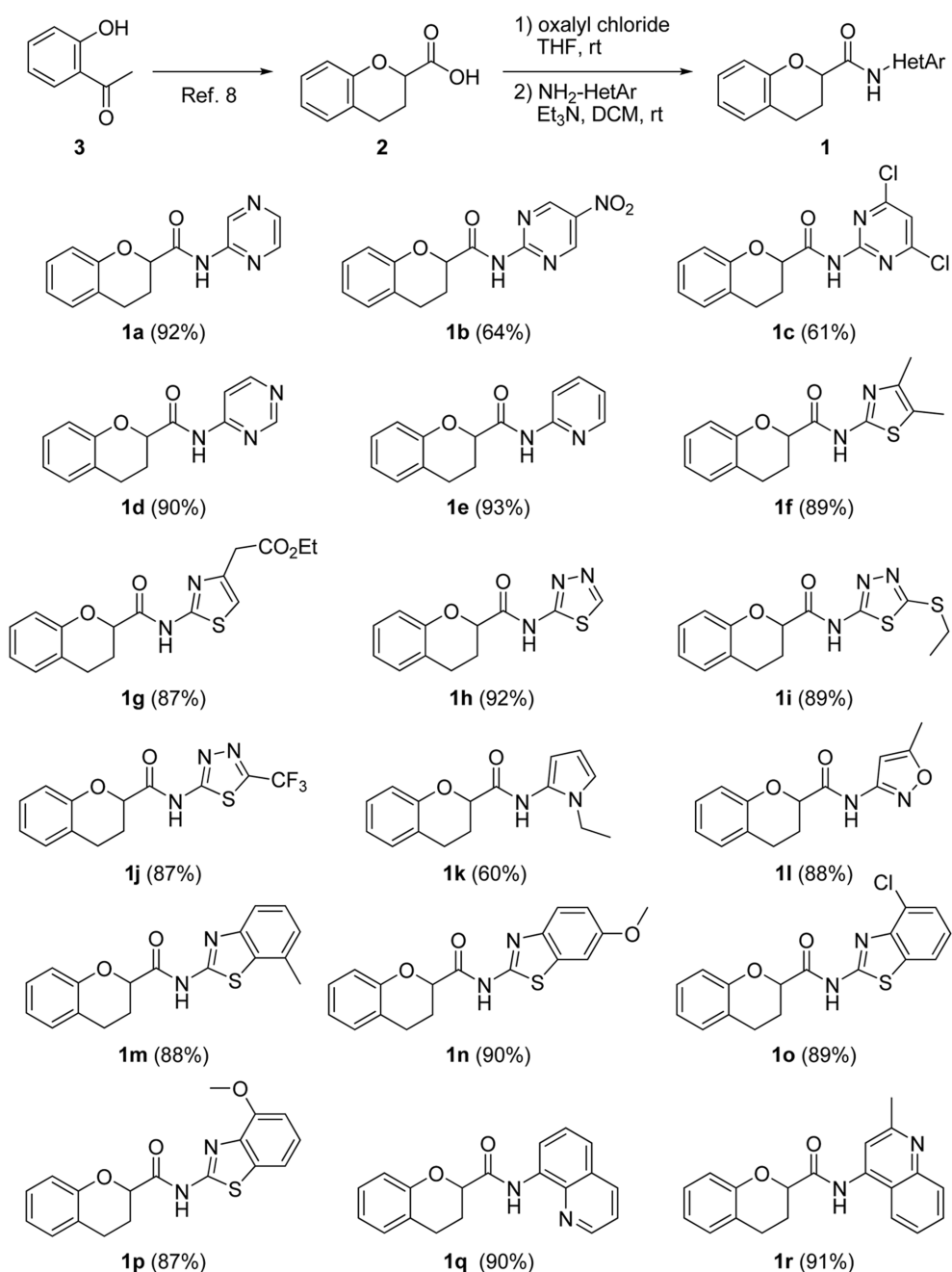
실제 합성 과정은 시판품인 2'-hydroxyacetophenone(3)을 출발물질로 하여 acid 2를 보고된 2 단계를 통해 62%의 수율로 얻었다. 얻어진 acid 2와의 웨타이드 coupling을 위하여 oxalic chloride를 이용하는 방법으로 acid chloride를 합성하고 합성물에 다양한 헤테로아릴아민을 첨가하여 18종의 최종화합물 1a-r를 60~93%의 수율로 얻을 수 있었다(Scheme 2).

헤테로아릴 그룹이 도입된 크로만 유도체의 NF-κB 저해활성

합성된 유도체의 NF-κB 저해 활성을 알아보기 위해 LPS(lipopolysaccharide)로 자극시킨 RAW 264.7 cell에 투여하여 100 μM 과 30 μM 에서의 억제율을 측정하였다(Table I).⁷ KL-1156 (IC_{50} : 40.1 μM)을 positive control로 사용하였으며, polycyclic 헤테로 방향족 화합물에서는 4번 위치에 치환기(Cl, OCH₃)가 도



Scheme 1 – Retrosynthesis of chroman-2-carboxamide derivatives.



Scheme 2 – Synthesis of chroman-2-carboxylic acid N-heteroarylamide derivatives.

입된 benzothiazole을 포함하는 크로만-2-카르복사마이드 유도체 (**1o**와 **1p**)가 좋은 활성을 보였다. 하지만 pyrazine, pyrimidine 그리고 pyridine과 같이 질소를 포함하는 6원환 아릴 그룹이 도입된 화합물들과 quinoline이 도입된 화합물들은 강력한 활성을 보이지 않았다. 가장 좋은 활성을 보인 5-trifluoromethyl-1,3,4-thiadiazole이 도입된 크로만-2-카르복사마이드(**1j**)는 $30 \mu\text{M}$ 의 IC_{50} 의 저해 활성으로 KL-1156과 유사한 활성을 나타내었다. 일반적으로 헤테로아릴 환을 도입은 선행연구 치환기가 도입된

페닐이 도입된 크로만 유도체에 비해 NF-κB 저해 효능을 크게 증가시키지 않음을 알 수 있었다.

헤테로아릴 그룹이 도입된 크로만 유도체의 세포성장억제효과
합성한 크로만 유도체의 NF-κB의 저해활성과 세포성장억제효과의 상관성을 살펴보기 위해 서로 다른 장기유래 인간의 암세포주인 폐암세포 NCI-H23와 전립선암 세포 PC-3를 이용하여 $10 \mu\text{g}/\text{mL}$ 농도에서 *in vitro* 세포성장억제효과를 측정하였다.⁹⁾

Table I – Biological activities of chroman-2-carboxylic acid *N*-heteroarylamide derivatives

Entry	% Inhibition of NF-κB		% Viability of cells	
	100 μM	30 μM	NCI-H23	PC-3
KL-1156	90	IC ₅₀ : 40.1 μM	19.2	61
1a	30	-	99	96
1b	38	-	79	81
1c	43	-	89	93
1d	43	23	85	100
1e	31	-	76	99
1f	39	-	54	40
1g	33	-	79	101
1h	39	-	90	88
1i	38	-	93	91
1j	68	50	65	77
1k	36	-	84	90
1l	40	-	88	94
1m	49	-	66	68
1n	40	-	55	39
1o	78	22	-	-
1p	92	32	60	47
1q	23	-	39	22
1r	35	12	-9	4

NF-κB의 저해활성과 세포성장억제효과가 직접적인 상관 관계는 보이지 않았지만 polycyclic 헤테로 방향족 화합물이 도입된 유도체에서 전반적으로 좋은 활성을 나타내었다. 그 중에서도 특히 *N*-(2-methylquinoind-4-yl)chroman-2-carboxamide(**1r**) 화합물은 NCI-H23와 PC-3 암세포 주에서 강력한 세포성장억제효과를 나타내었다(Table I).

결 론

본 연구에서는 NF-κB가 핵 안으로 이동하는 translocation 경로를 차단하여 활성을 억제하는 물질로 보고된 크로만 유도체 KL-1156을 바탕으로 합성된 크로만 유도체의 구조 활성관계를 알아보기 위해 헤테로아릴 환을 도입하여 유도체 18종을 합성하였다. 합성된 유도체 18종에 대한 NF-κB의 억제활성을 측정하였고 선행 실험을 통해 얻어진 활성을 종합하여 크로만 유도체의 구조 활성관계를 살펴보았다. 또한 유도체들의 폐암과 전립선암 세포 주의 세포성장억제효과를 살펴보고 NF-κB의 억제활성과의 상관관계를 알아보기 하였다. 이 결과는 우수한 활성을 지니

는 크로만계 NF-κB 저해제와 항암 효과를 지니는 크로만계 화합물의 개발에 이용할 수 있을 것으로 기대된다.

감사의 말씀

이 논문은 2010년도 충북대학교 학술연구지원사업의 연구비 지원에 의하여 연구되었고 이에 감사드립니다.

참고문헌

- Baldwin, A. S. Jr. : The NF-κB and IκB proteins: new discoveries and insights. *Annu. Rev. Immunol.* **14**, 649 (1996).
- Kumar, A., Takada, Y., Boriek, A. M. and Aggarwal, B. B. : Nuclear factor-κB: its role in health and disease. *J. Mol. Med.* **82**, 434 (2004).
- Karin, M., Yamamoto, Y. and Wang, Q. M. : The IKK NF-kappaB system: a treasure trove for drug development. *Nature Reviews Drug Discovery* **3**, 17 (2004).
- Finco, T. S. and Baldwin, A. S. : Mechanistic aspects of NF-κB regulation: the emerging role of phosphorylation and proteolysis. *Immunity* **3**, 263 (1995).
- Barnes, P. J. and Karin, M. : Nuclear factor-κB: a pivotal transcription factor in chronic inflammatory diseases. *N. Engl. J. Med.* **336**, 1066 (1997).
- Sen, R. and Baltimore, D. : Multiple nuclear factors interact with the immunoglobulin enhancer sequences. *Cell* **46**, 705 (1986).
- Kim, B. H., Reddy, A. M., Lee, K. H., Chung, E. Y., Cho, S. M., Lee, H., Min, K. R. and Kim, Y. : Inhibitory mechanism of chroman compound on LPS-induced nitric oxide production and nuclear factor-kappaB activation. *Biochem. Biophys. Res. Commun.* **325**, 223 (2004).
- Kwak, J. H., Won, S. W., Kim, T. J., Roh, E., Kang, H. Y., Lee, H. W., Jung, J. K., Hwang, B. Y., Kim, Y., Cho, J. and Lee, H. : Synthesis of chroman-2-carboxylic acid *N*-(substituted) phenylamides and their inhibitory effect on nuclear factor-κB (NF-κB) activation. *Arch. Pharm. Res.* **31**, 133 (2008).
- Skehan, P., Storeng, R., Scudiero, D. A., Monks, A., McMahon, J., Vistica, D., Warren, J. T., Bokesch, H., Kenney, S. and Boyd, M. R. : New colorimetric cytotoxicity assay for anticancer-drug screening. *J. Natl. Cancer Inst.* **82**, 1107 (1990).